

ЖУРНАЛ ЭКСПЕРИМЕНТАЛЬНОЙ И ТЕОРЕТИЧЕСКОЙ ФИЗИКИ

ОСНОВАН В МАРТЕ 1873 ГОДА
ВЫХОДИТ 12 РАЗ В ГОД
МОСКВА

ТОМ 112, ВЫПУСК 6(12)
ДЕКАБРЬ, 1997
«НАУКА»

РАСЩЕПЛЕНИЕ ФОТОНА ВЫСОКОЙ ЭНЕРГИИ В СИЛЬНОМ КУЛОНОВСКОМ ПОЛЕ

©1997

Р. Н. Ли, А. И. Мильштейн, В. М. Страховенко

*Институт ядерной физики им. Г. И. Будкера
Сибирского отделения Российской академии наук
630090, Новосибирск, Россия*

Поступила в редакцию 15 апреля 1997 г.

Точно по параметру $Z\alpha$ найдены спиральные амплитуды процесса расщепления фотона большой энергии во внешнем кулоновском поле. Исследуются случаи экранированного и неэкранированного потенциалов. Рассмотрение проводится в рамках квазиклассического подхода, справедливого для малых углов между импульсами всех фотонов. Используется новое представление для квазиклассической функции Грина электрона. Проводится детальный анализ полученных выражений для случая больших по сравнению с массой электрона поперечных компонент импульсов конечных фотонов.

1. ВВЕДЕНИЕ

Известно, что рождение виртуальной электрон-позитронной пары приводит к возникновению во внешнем кулоновском поле таких нелинейных эффектов квантовой электродинамики, как дельбрюксовское рассеяние (когерентное рассеяние фотона [1]) и расщепление фотона на два. В настоящее время процесс дельбрюксовского рассеяния детально изучен и теоретически, и экспериментально (см. недавний обзор [2]). При больших энергиях фотона, $\omega \gg m$ (m — масса электрона, $\hbar = c = 1$), амплитуда рассеяния фотона найдена точно по параметру $Z\alpha$ ($Z|e|$ — заряд ядра, $\alpha = e^2/4\pi = 1/137$ — постоянная тонкой структуры, e — заряд электрона). При этом использованные подходы существенно зависели от передачи импульса $\Delta = |\mathbf{k}_2 - \mathbf{k}_1|$ (\mathbf{k}_1 — импульс начального фотона, \mathbf{k}_2 — импульс конечного фотона). Основной вклад в полное сечение дельбрюксовского рассеяния при большой энергии фотона дает область малых передач импульса

© Российская академия наук, Отделение общей физики и астрономии,
Институт физических проблем им. П. Л. Капицы, 1997 г.

$\Delta \ll \omega$ (угол рассеяния $\theta \sim \Delta/\omega \ll 1$). В этом случае амплитуды были найдены в [3–5] посредством суммирования в определенном приближении диаграмм теории возмущений по взаимодействию с кулоновским полем и в [6, 7] с помощью квазиклассического подхода. Оказалось, что при $\omega \gg m$ и $Z\alpha \sim 1$ точный по $Z\alpha$ результат существенно отличается от полученного в низшем порядке теории возмущений.

Возможность использования квазиклассического приближения связана с тем, что в соответствии с соотношением неопределенности характерный прицельный параметр ρ является величиной порядка $1/\Delta$ и угловой момент $l \sim \omega\rho \sim \omega/\Delta$ много больше единицы при малых углах рассеяния. Это обстоятельство было использовано в работах [6, 7], где получена квазиклассическая функция Грина из удобного интегрального представления для точной функции Грина уравнения Дирака в кулоновском поле [8]. В [9, 10] была найдена квазиклассическая функция Грина электрона для произвольного центрально-симметричного убывающего потенциала, что позволило вычислить амплитуды дельбрюкковского рассеяния в экранированном кулоновском потенциале.

Процесс расщепления фотона в кулоновском поле ядра до сих пор не наблюдался, хотя некоторые события в эксперименте, выполненном в DESY [11], ошибочно интерпретировались как расщепление фотона. В работе [12] было показано, что эти события соответствовали рождению электрон-позитронной пары и жесткого фотона. Возможная схема проведения эксперимента обсуждалась в [13]. Теоретически расщепление фотона изучалось в работах [14–18] в низшем по $Z\alpha$ порядке теории возмущений. Полученные в [14, 15] выражения являются очень громоздкими, и их сложно использовать для численных расчетов. Тем не менее такие расчеты были проведены в [17, 18]. В работе [16] амплитуды процесса были получены в существенно более простом виде, но с логарифмической точностью (с помощью метода эквивалентных фотонов). Проведенное в [17] сравнение точного борновского сечения с приближенным результатом [16] показало, что в рассматриваемой области энергий максимальное различие достигает 20%. Величина кулоновских поправок в процессе расщепления фотона до сих пор была неизвестной. В настоящее время в Институте ядерной физики им. Г. И. Будкера СО РАН проводится эксперимент по наблюдению расщепления фотона большой энергии ($\omega \gg m$) в кулоновском поле тяжелых ядер. Поэтому теоретическое исследование этого процесса представляет несомненный интерес.

В настоящей работе амплитуда расщепления фотона высокой энергии вычисляется точно по параметру $Z\alpha$ при малых углах f_2 и f_3 между импульсами \mathbf{k}_2 , \mathbf{k}_3 конечных фотонов и импульсом \mathbf{k}_1 начального фотона. Именно область малых углов дает основной вклад в полное сечение процесса. Кроме того, малые углы и большие энергии фотонов позволяют использовать квазиклассический подход, развитый в [6, 7, 9, 10] при рассмотрении дельбрюкковского рассеяния. Мы обсуждаем случай незранированного кулоновского потенциала, а также влияние экранировки. Начальное выражение для амплитуды расщепления фотона является весьма сложным и содержит с учетом параметризации функций Грина в кулоновском поле тринадцатикратный интеграл. Квазиклассический подход дает ясную картину процесса и позволяет определить область интегрирования, соответствующую основному вкладу в амплитуду. Без этого вычисление амплитуды, по-видимому, было бы невозможно.

Наша статья имеет следующую структуру. В разд. 2 мы проводим преобразование точной амплитуды, которое существенно упрощает дальнейшие вычисления. В разд. 3 обсуждается кинематика процесса. В разд. 4 выводится квазиклассическая функция Грина в приближении малых углов. В разд. 5 эта функция Грина используется для вы-

числения амплитуды расщепления фотона. В разд. 6 мы рассматриваем случай больших поперечных компонент импульсов конечных фотонов ($\omega_2 f_2 \gg m, \omega_3 f_3 \gg m$). Асимптотики полученного результата при малых передачах импульса и при $Z\alpha \ll 1$ обсуждаются в разд. 7 и 8. В заключительном разделе точные борновские сечения сравниваются с сечениями, полученными с помощью метода эквивалентных фотонов (метод Вейцекера–Вильямса).

2. ПРЕОБРАЗОВАНИЕ АМПЛИТУДЫ ПРОЦЕССА

Согласно правилам Фейнмана, в представлении Фарри амплитуда расщепления фотона имеет вид

$$M = ie^3 \int d^4x \text{Tr} \langle x | \hat{e}_1 \exp(-ik_1x) \mathcal{S} \hat{e}_2^* \exp(ik_2x) \mathcal{S} \hat{e}_3^* \exp(ik_3x) \mathcal{S} | x \rangle + \{k_2^\mu \leftrightarrow k_3^\mu, e_2^\mu \leftrightarrow e_3^\mu\}. \tag{1}$$

Здесь e_1^μ и $e_{2,3}^\mu$ — векторы поляризаций начального и конечных фотонов, $\hat{e} = e^\mu \gamma_\mu = -e\gamma$, γ^μ — матрицы Дирака, $\mathcal{S} = 1/(\hat{\mathcal{P}} - m + i0)$, и $\mathcal{S}_\mu = i\partial_\mu + g_{\mu\alpha}(Z\alpha/r)$. Матричный элемент оператора \mathcal{S} является функцией Грина уравнения Дирака для электрона в кулоновском поле: $G(x, x') = \langle x | \mathcal{S} | x' \rangle$.

Удобно переписать выражение (1) в виде, содержащем только функции Грина квадратированного уравнения Дирака:

$$D(x, x') = \langle x | \mathcal{D} | x' \rangle = \langle x | 1/(\hat{\mathcal{P}}^2 - m^2 + i0) | x' \rangle.$$

Для этого представим в (1) левый оператор \mathcal{S} в виде $\mathcal{S} = \mathcal{D}(\hat{\mathcal{P}} + m)$ и используем коммутационное соотношение

$$(\hat{\mathcal{P}} + m)\hat{e} \exp(ikx) = \exp(ikx)[- \hat{e} \mathcal{S}^{-1} + \hat{e} \hat{k} - 2e\mathbf{p}], \quad \mathbf{p} = -i\nabla.$$

Проведем теперь такое же преобразование для правого оператора \mathcal{S} в (1) и возьмем полусумму полученных выражений. С учетом того, что для произвольных операторов A_1 и A_2 выполняется равенство

$$\int dx \text{Tr} \langle x | A_1 A_2 | x \rangle = \int dx \text{Tr} \langle x | A_2 A_1 | x \rangle,$$

получаем

$$M = ie^3 \int d^4x \text{Tr} \left\{ \left[\mathbf{e}_1 \mathbf{e}_2^* \exp[i(k_2 - k_1)x] \langle x | \mathcal{D} \exp(ik_3x) (\hat{e}_3^* \hat{k}_3 - 2\mathbf{e}_3^* \mathbf{p}) \mathcal{D} | x \rangle + \mathbf{e}_1 \mathbf{e}_3^* \exp[i(k_3 - k_1)x] \langle x | \mathcal{D} \exp(ik_2x) (\hat{e}_2^* \hat{k}_2 - 2\mathbf{e}_2^* \mathbf{p}) \mathcal{D} | x \rangle + \mathbf{e}_2^* \mathbf{e}_3^* \exp[-i(k_2 + k_3)x] \langle x | \mathcal{D} \exp(-ik_1x) (-\hat{e}_1 \hat{k}_1 - 2\mathbf{e}_1 \mathbf{p}) \mathcal{D} | x \rangle \right] + \frac{1}{2} \left[\langle x | \exp(-ik_1x) (-\hat{e}_1 \hat{k}_1 - 2\mathbf{e}_1 \mathbf{p}) \mathcal{D} \exp(ik_2x) (\hat{e}_2^* \hat{k}_2 - 2\mathbf{e}_2^* \mathbf{p}) \times \mathcal{D} \exp(ik_3x) (\hat{e}_3^* \hat{k}_3 - 2\mathbf{e}_3^* \mathbf{p}) \mathcal{D} | x \rangle + (2 \leftrightarrow 3) \right] \right\}. \tag{2}$$

Таким образом, представление (2) является суммой вкладов, содержащих две и три функции Грина: $M = M^{(2)} + M^{(3)}$. Амплитуда, записанная в виде (1), содержит члены

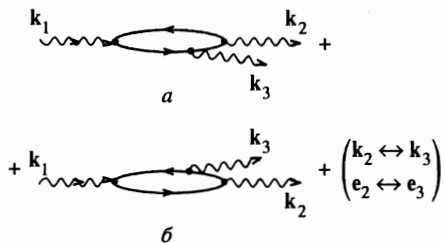


Рис. 1. Диаграммы теории возмущений, соответствующие амплитуде $M^{(3)}$ (3)

различного порядка величины. При этом возникает необходимость учитывать компенсацию старших членов. Удобство формулы (2) состоит в том, что после взятия следа матриц выражение содержит только члены необходимого порядка.

Переходя в (2) от зависящей от времени функции Грина к зависящей от энергии функции Грина, беря интеграл по времени и опуская стандартный множитель $2\pi\delta(\omega_1 - \omega_2 - \omega_3)$, для вклада, содержащего три функции Грина, получаем

$$\begin{aligned}
 M^{(3)} = & \frac{i}{2} e^3 \int \frac{d\varepsilon}{2\pi} \int d\mathbf{r}_1 d\mathbf{r}_2 d\mathbf{r}_3 \exp [i(\mathbf{k}_1 \mathbf{r}_1 - \mathbf{k}_2 \mathbf{r}_2 - \mathbf{k}_3 \mathbf{r}_3)] \times \\
 & \times \text{Tr} \left\{ [(-\hat{e}_1 \hat{k}_1 - 2\mathbf{e}_1 \mathbf{p})D(\mathbf{r}_1, \mathbf{r}_2 | \varepsilon - \omega_2)] [(\hat{e}_2^* \hat{k}_2 - 2\mathbf{e}_2^* \mathbf{p})D(\mathbf{r}_2, \mathbf{r}_3 | \varepsilon)] \times \right. \\
 & \left. \times [(\hat{e}_3^* \hat{k}_3 - 2\mathbf{e}_3^* \mathbf{p})D(\mathbf{r}_3, \mathbf{r}_1 | \varepsilon + \omega_3)] \right\} + (k_2^\mu \leftrightarrow k_3^\mu, \mathbf{e}_2 \leftrightarrow \mathbf{e}_3). \quad (3)
 \end{aligned}$$

Здесь $\mathbf{p} = -i\nabla$ дифференцирует соответствующую функции Грина D квадратированного уравнения Дирака по первому аргументу.

Далее будем называть функцию Грина $D(\mathbf{r}_1, \mathbf{r}_2 | \varepsilon)$ с положительной энергией ε электронной функцией Грина, а с отрицательной энергией — позитронной функцией Грина. Пусть начальный фотон распространяется вдоль оси z . Тогда в соответствии с квазиклассическим подходом, развитым в [6, 7, 9, 10], при высоких энергиях основной вклад в амплитуду дает область интегрирования по переменным z_i , такая что $z' < z$ для электронной функции Грина $D(\mathbf{r}, \mathbf{r}' | \varepsilon)$ и $z' > z$ для позитронной функции Грина. На языке нековариантной теории возмущений это соответствует тому, что в указанной области интегрирования разница между энергией E_n любого промежуточного состояния и энергией начального состояния $E_0 = \omega_1$ мала по сравнению с E_0 . Во всех остальных случаях по крайней мере одно из промежуточных состояний имеет $|E_n - E_0| \sim E_0$ и соответствующий вклад в амплитуду подавлен. Кроме того, существует еще одно ограничение для области интегрирования, дающей основной вклад в амплитуду. Оно связано со свойствами квазиклассической функции Грина и имеет вид

$$z_1 < z_2, z_3, \quad z_1 < 0, \quad \max(z_2, z_3) > 0.$$

Все указанные неравенства позволяют изобразить главный вклад в амплитуду $M^{(3)}$ в виде диаграмм, показанных на рис. 1. Выражения для вершин очевидны из формулы (3). На рис. 1 электронные функции Грина показаны стрелками, идущими слева направо, а позитронные функции Грина — справа налево. Расположение всех вершин на этих диаграммах является пространственно упорядоченным. Пользуясь рисунком, легко написать пределы интегрирования по энергии и координатам. В результате диаграммам a и b на рис. 1 отвечает следующая картина. Фотон с импульсом \mathbf{k}_1 рождает в

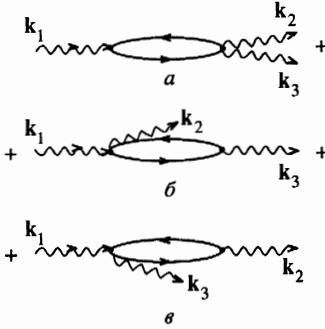


Рис. 2. Диаграммы теории возмущений, соответствующие амплитуде $M^{(2)}$ (4)

точке r_1 пару виртуальных частиц, которая в точке r_2 превращается в фотон с импульсом k_2 . Между этими двумя событиями фотон с импульсом k_3 излучается в точке r_3 электроном (а) или позитроном (б).

Аналогично выражение для вклада $M^{(2)}$, содержащего две функции Грина, имеет вид

$$M^{(2)} = ie^3 \int \frac{d\varepsilon}{2\pi} \int dr_1 dr_2 \text{Tr} \left\{ \exp[i(\mathbf{k}_1 r_1 - \mathbf{k}_2 r_2 - \mathbf{k}_3 r_2)] \mathbf{e}_2^* \mathbf{e}_3^* \times \right. \\ \times [(-\hat{e}_1 \hat{k}_1 - 2\mathbf{e}_1 \mathbf{p}) D(\mathbf{r}_1, \mathbf{r}_2 | \varepsilon - \omega_1) D(\mathbf{r}_2, \mathbf{r}_1 | \varepsilon)] + \left[\exp[i(\mathbf{k}_1 r_1 - \mathbf{k}_2 r_2 - \mathbf{k}_3 r_1)] \mathbf{e}_1 \mathbf{e}_3^* \times \right. \\ \left. \left. \times D(\mathbf{r}_1, \mathbf{r}_2 | \varepsilon - \omega_2) [(\hat{e}_2^* \hat{k}_2 - 2\mathbf{e}_2^* \mathbf{p}) D(\mathbf{r}_2, \mathbf{r}_1 | \varepsilon)] + (k_2^\mu \leftrightarrow k_3^\mu, \mathbf{e}_2 \leftrightarrow \mathbf{e}_3) \right] \right\}. \quad (4)$$

Диаграммы, соответствующие представлению амплитуды (4), показаны на рис. 2.

3. КИНЕМАТИКА ПРОЦЕССА

Время жизни виртуальной электрон-позитронной пары (длину петли) можно оценить из соотношения неопределенности: $\tau \sim |\mathbf{r}_2 - \mathbf{r}_1| \sim \omega_1 / (m^2 + \bar{\Delta}^2)$, где $\bar{\Delta} = \max(|\mathbf{k}_{2\perp}|, |\mathbf{k}_{3\perp}|) \ll \omega_1$, $\mathbf{k}_{2\perp}$ и $\mathbf{k}_{3\perp}$ — перпендикулярные \mathbf{k}_1 компоненты импульсов конечных фотонов. Характерное поперечное расстояние между виртуальными частицами можно оценить как $(m^2 + \bar{\Delta}^2)^{-1/2}$. Видно, что длина электрон-позитронной петли много больше ее поперечных размеров. Характерный прицельный параметр равен $\rho \sim 1/\Delta$, где передача импульса $\Delta = \mathbf{k}_2 + \mathbf{k}_3 - \mathbf{k}_1$. При малых $\mathbf{k}_{2\perp}$ и $\mathbf{k}_{3\perp}$ ($f_{2,3} \ll 1$) имеем

$$\Delta^2 = (\mathbf{k}_{2\perp} + \mathbf{k}_{3\perp})^2 + \frac{1}{4} \left(\frac{\mathbf{k}_{2\perp}^2}{\omega_2} + \frac{\mathbf{k}_{3\perp}^2}{\omega_3} \right)^2. \quad (5)$$

Характерный орбитальный момент $l \sim \omega/\Delta$ много больше единицы, и справедливо квазиклассическое приближение.

Рассмотрим экранированный кулоновский потенциал. В модели Томаса–Ферми радиус экранировки равен $r_c \sim (m\alpha)^{-1} Z^{-1/3}$. Если $R \ll 1/\Delta \ll r_c$ (R — радиус ядра), то экранировка не существенна и амплитуда совпадает с амплитудой в кулоновском поле. Если $1/\Delta \sim r_c$, то необходимо учитывать экранировку. Ясно, что прицельные параметры $\rho \gg r_c$ не дают вклада в полное сечение. Поэтому в дальнейшем мы будем

рассматривать только область передач импульсов, которая соответствует прицельным параметрам $\rho \leq r_c$. Если $|\Delta_{\parallel}| = (\mathbf{k}_{2\perp}^2/\omega_2 + \mathbf{k}_{3\perp}^2/\omega_3)/2 \ll r_c^{-1}$, то из (5) следует, что условие $\rho \leq r_c$ выполняется только при $|\Delta_{\perp}| = |\mathbf{k}_{2\perp} + \mathbf{k}_{3\perp}| \geq r_c^{-1}$. Таким образом, основной вклад в сечение дает ограниченная снизу область поперечных импульсов Δ_{\perp} . В этой области $|\Delta_{\perp}| \gg |\Delta_{\parallel}|$, т. е. $\Delta \approx \Delta_{\perp}$. Кроме того, при $\omega/(m^2 + \tilde{\Delta}^2) \gg r_c$ углы между векторами $\mathbf{k}_{1,2,3}$ и $\mathbf{r}_{1,2,3}$ или малы, или близки к π , $|z_i| \gg r_c$ и можно воспользоваться соответствующим разложением.

Согласно теореме Фарри, в процессе расщепления фотона происходит обмен нечетным числом квантов с источником внешнего поля, т. е. амплитуда нечетна по параметру $Z\alpha$. Область очень маленьких передач импульса $\Delta \leq r_c^{-1}$ существенна только в низшем (линейном по $Z\alpha$) порядке теории возмущений за счет сингулярного поведения кулоновского потенциала в импульсном представлении $(-4\pi Z\alpha/\Delta^2)$. В этом порядке применим метод эквивалентных фотонов, и в сечении, проинтегрированном по углам одного из конечных фотонов, возникает соответствующий большой логарифм [16]. В высших порядках теории возмущений по $Z\alpha$ необходимо взять интеграл по всем импульсам, соответствующим внешнему полю, при условии, что сумма этих импульсов равна Δ . Поэтому, даже если $\Delta \sim r_c^{-1}$, каждый из импульсов внешнего поля не является малым и экранировкой можно пренебречь. В низшем порядке теории возмущений экранировку можно учесть, умножив амплитуду на $1 - F(\Delta^2)$, где $F(\Delta^2)$ — формфактор атомных электронов. Таким образом, для того чтобы найти амплитуду расщепления фотона в случае экранированного кулоновского потенциала, достаточно решить задачу для неэкранированного кулоновского потенциала.

4. ФУНКЦИЯ ГРИНА

Перейдем теперь к рассмотрению функции Грина $D(\mathbf{r}, \mathbf{r}'|\varepsilon)$, входящей в (3) и (4). В работах [9, 10] с использованием квазиклассического приближения было найдено представление этой функции для произвольного центрально-симметричного убывающего потенциала. В случае кулоновского потенциала при малом угле θ между векторами \mathbf{r} и $-\mathbf{r}'$ из формулы (14) работы [9] получаем

$$D(\mathbf{r}, \mathbf{r}'|\varepsilon) = \frac{i \exp [i\kappa(r + r')]}{4\pi\kappa r r'} \int_0^{\infty} dl l \left[J_0(l\theta) + iZ\alpha \frac{\boldsymbol{\alpha}(\mathbf{n} + \mathbf{n}')}{l\theta} J_1(l\theta) \right] \times \\ \times \exp \left[i \frac{l^2(r + r')}{2\kappa r r'} \right] \left(\frac{4\kappa^2 r r'}{l^2} \right)^{iZ\alpha\lambda}, \quad (6)$$

где $\alpha = \gamma^0 \boldsymbol{\gamma}$, $\kappa^2 = \varepsilon^2 - m^2$, $\lambda = \varepsilon/\kappa$, $\mathbf{n} = \mathbf{r}/r$ и $\mathbf{n}' = \mathbf{r}'/r'$. С учетом того, что

$$\int dl l J_0(l\theta) g(l^2) = \frac{1}{2\pi} \int d\mathbf{q} \exp(i\mathbf{q}\boldsymbol{\theta}) g(q^2), \quad \frac{\boldsymbol{\theta}}{\theta} J_1(l\theta) = -\frac{1}{l} \frac{\partial}{\partial \theta} J_0(l\theta),$$

где $g(l^2)$ — произвольная функция и \mathbf{q} — двумерный вектор, формулу (6) можно переписать в виде

$$D(\mathbf{r}, \mathbf{r}'|\varepsilon) = \frac{i \exp [i\kappa(r + r')]}{8\pi^2\kappa r r'} \int d\mathbf{q} \left(1 + Z\alpha \frac{\boldsymbol{\alpha}\mathbf{q}}{q^2} \right) \times$$

$$\times \exp \left[i \frac{q^2(r+r')}{2\kappa r r'} + i\mathbf{q}(\theta + \theta') \right] \left(\frac{4\kappa^2 r r'}{q^2} \right)^{iZ\alpha\lambda} \quad (7)$$

Здесь $\theta = \mathbf{r}_\perp/r$, $\theta' = \mathbf{r}'_\perp/r'$. Формула (7) содержит только элементарные функции, а углы θ и θ' входят только в виде множителя $\exp\{i\mathbf{q}(\theta + \theta')\}$. Поэтому представление (7) для функции Грина очень удобно для вычислений. Если мал угол между векторами \mathbf{r} и \mathbf{r}' , то в случае кулоновского поля из формулы (15) [9] находим

$$D(\mathbf{r}, \mathbf{r}' | \varepsilon) = - \frac{\exp(i\kappa|\mathbf{r} - \mathbf{r}'|)}{4\pi|\mathbf{r} - \mathbf{r}'|} \left(\frac{r}{r'} \right)^{iZ\alpha\lambda \text{sign}(r-r')} \quad (8)$$

Видно, что в этом случае функция Грина отличается от свободной только фазовым множителем. Легко убедиться, что все фазовые множители вида $r^{\pm iZ\alpha}$, входящие в представления (7) и (8) для функций Грина, сокращаются при подстановке этих функций в выражения для амплитуд (3) и (4). Заметим также, что в (7) и (8) можно заменить κ на $|\varepsilon| - m^2/(2|\varepsilon|)$, причем с нужной точностью поправка $m^2/(2|\varepsilon|)$ существенна только в фазовом множителе $\exp[i\kappa(r+r')]$.

5. ВЫЧИСЛЕНИЕ АМПЛИТУД $M^{(3)}$ И $M^{(2)}$

Перейдем теперь к вычислению диаграмм, содержащих три функции Грина (см. рис. 1). Ясно, что вклад диаграммы *b* получается из вклада диаграммы *a* заменой $Z\alpha \rightarrow -Z\alpha$ и изменением общего знака. Это обеспечивает выполнение теоремы Фарри (сумма вкладов нечетна по $Z\alpha$). Поэтому сумма вкладов *a* и *b* на рис. 1 получается из вклада *a* выделением нечетной по $Z\alpha$ части и умножением на два. Далее, при вычислении диаграммы *a* область интегрирования по переменной z_3 разбивается на две: $z_3 > 0$ (фотон с импульсом \mathbf{k}_3 впереди) и $z_3 < 0$ (фотон сзади). В первой области малы углы между векторами \mathbf{r}_2 , \mathbf{r}_3 и $-\mathbf{r}_1$. Во второй области малы углы между векторами \mathbf{r}_1 , \mathbf{r}_3 и $-\mathbf{r}_2$. Обозначим вклад первой области в диаграмму *a* через $M_1^{(3)}$, а вклад второй области — через $M_2^{(3)}$. Введем в рассмотрение векторы $\mathbf{f}_2 = \mathbf{k}_{2\perp}/\omega_2$ и $\mathbf{f}_3 = \mathbf{k}_{3\perp}/\omega_3$ ($|\mathbf{f}_{2,3}| \ll 1$), а также $\theta_i = \mathbf{r}_{i\perp}/r_i = \mathbf{n}_{i\perp}$ ($i = 1, 2, 3$). С учетом малости углов имеем $dr_i = r_i^2 dr_i d\theta_i$. Вычисление удобно проводить для спиральных амплитуд $M_{\lambda_1, \lambda_2, \lambda_3}(\mathbf{k}_1, \mathbf{k}_2, \mathbf{k}_3)$. Достаточно найти три амплитуды: $M_{+-+}(\mathbf{k}_1, \mathbf{k}_2, \mathbf{k}_3)$, $M_{+++}(\mathbf{k}_1, \mathbf{k}_2, \mathbf{k}_3)$ и $M_{++-}(\mathbf{k}_1, \mathbf{k}_2, \mathbf{k}_3)$. Все остальные могут быть получены с помощью замен переменных. Заметим, что в рассматриваемом приближении нет необходимости учитывать поправки к поперечной части векторов поляризации $\mathbf{e}_{2,3}$, а продольную часть векторов $\mathbf{e}_{2,3}$ можно выразить через поперечную, используя соотношение $\mathbf{e}\mathbf{k} = 0$: $(\mathbf{e}_{2,3})_z = -\mathbf{e}_{2,3}\mathbf{f}_{2,3}$. Таким образом, мы можем считать поперечную часть вектора поляризации конечного фотона с заданной спиральностью равной вектору поляризации фотона с такой же спиральностью, распространяющегося вдоль оси z . Далее для этого вектора поляризации в случае положительной спиральности мы используем обозначение \mathbf{e} , тогда вектор поляризации с отрицательной спиральностью будет равен \mathbf{e}^* . Заметим, что так как в нашем подходе расположение вершин на диаграммах является пространственно упорядоченным, то для вычисления амплитуды M_{++-} необходимо найти две амплитуды $M^{(3)}$, а именно $M_{++-}^{(3)}$ и $M_{+-+}^{(3)}$.

Подставим выражения (7) и (8) в (3) и проведем очевидное разложение при малых углах, учитывая квадратичные члены по \mathbf{f}_i и θ_i . Введем обозначения $\kappa_2 = \omega_2 - \varepsilon$,

$\kappa_3 = \omega_3 + \varepsilon$ и перейдем к переменным

$$\mathbf{q}_2 \rightarrow \kappa_2 \mathbf{q}_2, \quad \mathbf{q}_3 \rightarrow \kappa_3 \mathbf{q}_3, \quad R_1 = \frac{\omega_1}{\kappa_2 \kappa_3} r_1, \quad R_2 = \frac{\omega_2}{\varepsilon \kappa_2} r_2, \quad R_3 = \frac{\omega_3}{\varepsilon \kappa_3} r_3.$$

После простого интегрирования по θ_i получаем

$$M_1^{(3)} = \frac{e^3}{32\pi^3 \omega_1 \omega_2 \omega_3} \int_0^{\omega_2} \varepsilon \kappa_2 \kappa_3 d\varepsilon \int_0^\infty dR_1 \int_0^\infty dR_2 \int_0^L \frac{dR_3}{R_1 R} \iint d\mathbf{q}_2 d\mathbf{q}_3 \left(\frac{q_2}{q_3}\right)^{2iZ\alpha} \exp(i\Phi) T, \quad (9)$$

где $L = R_2 \omega_3 \kappa_2 / \omega_2 \kappa_3$,

$$T = \frac{1}{4} \text{Tr} \left\{ \left(1 + \frac{Z\alpha \boldsymbol{\alpha} \mathbf{q}_3}{\kappa_3 q_3^2} \right) \left(\frac{2}{R_1} \mathbf{e}_1 \mathbf{Q} - \hat{e}_1 \hat{k}_1 \right) \left(1 - \frac{Z\alpha \boldsymbol{\alpha} \mathbf{q}_2}{\kappa_2 q_2^2} \right) \times \right. \\ \left. \times \left[\left(\frac{2}{R} \mathbf{e}_2^* (\mathbf{Q} + \varepsilon R_3 \mathbf{f}_{23}) - \hat{e}_2^* \hat{k}_2 \right) \left(\frac{2}{R} \mathbf{e}_3^* (\mathbf{Q} + \varepsilon R_2 \mathbf{f}_{23}) - \hat{e}_3^* \hat{k}_3 \right) - \frac{4i}{R} \mathbf{e}_2^* \mathbf{e}_3^* \right] \right\}, \quad (10)$$

$$\Phi = \left[\left(\frac{1}{R} + \frac{1}{R_1} \right) \frac{\mathbf{Q}^2}{2} + \frac{\varepsilon^2 R_2 R_3 \mathbf{f}_{23}^2}{2R} - \frac{(\kappa_2 \mathbf{q}_2 - \kappa_3 \mathbf{q}_3) \Delta}{\omega_1} - \right. \\ \left. - \frac{\omega_3 \kappa_2 R_2 - \omega_2 \kappa_3 R_3}{\omega_1 R} \mathbf{Q} \mathbf{f}_{23} - \frac{m^2}{2} (R_1 + R) \right],$$

$$R = R_2 - R_3, \quad \mathbf{f}_{23} = \mathbf{f}_2 - \mathbf{f}_3, \quad \mathbf{Q} = \mathbf{q}_2 + \mathbf{q}_3, \quad \Delta = \omega_2 \mathbf{f}_2 + \omega_3 \mathbf{f}_3.$$

Для дальнейших вычислений удобно преобразовать функцию T в (10) так, чтобы она не содержала параметр $Z\alpha$. Для этого воспользуемся тождествами

$$Z\alpha \frac{\mathbf{q}_2}{q_2^2} \left(\frac{q_2}{q_3} \right)^{2iZ\alpha} = -\frac{i}{2} \frac{\partial}{\partial \mathbf{q}_2} \left(\frac{q_2}{q_3} \right)^{2iZ\alpha}, \quad Z\alpha \frac{\mathbf{q}_3}{q_3^2} \left(\frac{q_2}{q_3} \right)^{2iZ\alpha} = \frac{i}{2} \frac{\partial}{\partial \mathbf{q}_3} \left(\frac{q_2}{q_3} \right)^{2iZ\alpha}$$

и проведем интегрирование по частям по \mathbf{q}_2 и \mathbf{q}_3 в (9). После этого в функции T возникнут члены, содержащие переменную R_1 в виде множителей $1/R_1$, $1/R_1^2$ и не зависящие от R_1 . Вычисляя след матриц и интегрируя по частям по переменной R_1 члены, содержащие $1/R_1^2$, находим для различных поляризаций

$$T_{+--} = \frac{8}{R_1 R^2} (\mathbf{e} \mathbf{Q}) (\mathbf{e} \mathbf{Q}_2) (\mathbf{e} \mathbf{Q}_3), \\ T_{+++} = -\frac{4}{R_1 R^2} \left(\frac{\kappa_2}{\kappa_3} + \frac{\kappa_3}{\kappa_2} \right) (\mathbf{e} \mathbf{Q}) (\mathbf{e}^* \mathbf{Q}_2) (\mathbf{e}^* \mathbf{Q}_3) - \frac{\omega_1}{\varepsilon R^3} \mathbf{e}^* \left(\frac{\omega_2}{\kappa_2} \mathbf{Q}_3^2 \mathbf{Q}_2 - \frac{\omega_3}{\kappa_3} \mathbf{Q}_2^2 \mathbf{Q}_3 \right) + \\ + \frac{2i\omega_1^2}{\kappa_2 \kappa_3 R^2} \mathbf{e}^* (\mathbf{Q}_2 + \mathbf{Q}_3) + \frac{m^2 \omega_1}{\varepsilon R} \mathbf{e}^* \left(\frac{\omega_2}{\kappa_2} \mathbf{Q}_2 - \frac{\omega_3}{\kappa_3} \mathbf{Q}_3 \right), \quad (11) \\ T_{++-} = -\frac{4}{R_1 R^2} \left(\frac{\kappa_2}{\varepsilon} + \frac{\varepsilon}{\kappa_2} \right) (\mathbf{e} \mathbf{Q}) (\mathbf{e} \mathbf{Q}_2) (\mathbf{e}^* \mathbf{Q}_3) + \frac{\omega_2 \omega_3}{\varepsilon \kappa_3 R_1 R^2} (\mathbf{Q}_2^2 + \mathbf{Q}_3^2) (\mathbf{e} \mathbf{Q}) - \\ - \frac{\omega_1 \omega_2}{\kappa_2 \kappa_3 R} \left(\frac{\mathbf{Q}_3^2}{R^2} - m^2 \right) (\mathbf{e} \mathbf{Q}_2) + \frac{4i}{R_1 R} \left(\frac{\omega_1 \omega_2}{\kappa_2 \kappa_3} - 2 \right) (\mathbf{e} \mathbf{Q}) + \frac{2i\omega_1 \omega_2}{\kappa_2 \kappa_3 R^2} \mathbf{e} (\mathbf{Q}_2 + \mathbf{Q}_3),$$

где $\mathbf{Q}_2 = \mathbf{Q} + \varepsilon R_2 \mathbf{f}_{23}$ и $\mathbf{Q}_3 = \mathbf{Q} + \varepsilon R_3 \mathbf{f}_{23}$. Функция T_{+-} получается из T_{++} с помощью подстановки $\omega_2 \leftrightarrow \omega_3$, $\kappa_2 \leftrightarrow \kappa_3$, $\mathbf{Q}_2 \leftrightarrow \mathbf{Q}_3$ и $\varepsilon \rightarrow -\varepsilon$.

Аналогично для вклада $M_2^{(3)}$ получаем

$$M_2^{(3)} = \frac{e^3}{32\pi^3 \omega_1 \omega_2 \omega_3} \int_0^{\omega_2} \varepsilon \kappa_2 \kappa_3 d\varepsilon \int_0^\infty dR_1 \int_0^\infty dR_2 \int_0^{L_1} \frac{dR_3}{r R_2} \iint d\mathbf{q}_2 d\mathbf{q}_3 \left(\frac{q_2}{q_3}\right)^{2iZ\alpha} \exp(i\bar{\Phi}) \bar{T}, \quad (12)$$

где $L_1 = R_1 \omega_3 \kappa_2 / \omega_1 \varepsilon$, $r = R_1 + R_3$,

$$\bar{\Phi} = \left[\left(\frac{1}{r} + \frac{1}{R_2} \right) \frac{\mathbf{Q}^2}{2} - \frac{\kappa_3^2 R_1 R_3 \mathbf{f}_3^2}{2r} - \frac{(\kappa_2 \mathbf{q}_2 - \varepsilon \mathbf{q}_3) \Delta}{\omega_2} + \frac{\omega_3 \kappa_2 R_1 - \varepsilon \omega_1 R_3}{\omega_2 r} \mathbf{Q} \mathbf{f}_3 - \frac{m^2}{2} (R_2 + r) \right], \quad (13)$$

а функция \bar{T} для разных поляризаций равна

$$\bar{T}_{+--} = -\frac{8}{r^2 R_2} (\mathbf{e} \mathbf{Q}) (\mathbf{e} \mathbf{P}_1) (\mathbf{e} \mathbf{P}_3); \quad (14)$$

$$\begin{aligned} \bar{T}_{++-} &= \frac{4}{r^2 R_2} \left(\frac{\kappa_2}{\varepsilon} + \frac{\varepsilon}{\kappa_2} \right) (\mathbf{e}^* \mathbf{Q}) (\mathbf{e} \mathbf{P}_1) (\mathbf{e} \mathbf{P}_3) + \frac{\omega_2}{\kappa_3 r^3} \mathbf{e} \left(\frac{\omega_1}{\kappa_2} \mathbf{P}_3 \mathbf{P}_1 + \frac{\omega_3}{\varepsilon} \mathbf{P}_1 \mathbf{P}_3 \right) - \\ &\quad - \frac{2i\omega_2^2}{\kappa_2 \varepsilon r^2} \mathbf{e} (\mathbf{P}_1 + \mathbf{P}_3) - \frac{m^2 \omega_2}{\kappa_3 r} \mathbf{e} \left(\frac{\omega_1}{\kappa_2} \mathbf{P}_1 + \frac{\omega_3}{\varepsilon} \mathbf{P}_3 \right), \\ \bar{T}_{+++} &= \frac{4}{r^2 R_2} \left(\frac{\kappa_2}{\kappa_3} + \frac{\kappa_3}{\kappa_2} \right) (\mathbf{e}^* \mathbf{Q}) (\mathbf{e}^* \mathbf{P}_1) (\mathbf{e} \mathbf{P}_3) + \frac{\omega_1 \omega_3}{\varepsilon \kappa_3 r^2 R_2} (\mathbf{P}_1^2 + \mathbf{P}_3^2) (\mathbf{e}^* \mathbf{Q}) + \\ &\quad + \frac{\omega_1 \omega_2}{\kappa_2 \varepsilon r} \left(\frac{\mathbf{P}_3^2}{r^2} - m^2 \right) (\mathbf{e}^* \mathbf{P}_1) - \frac{4i}{r R_2} \left(\frac{\omega_1 \omega_2}{\kappa_2 \varepsilon} - 2 \right) (\mathbf{e}^* \mathbf{Q}) - \frac{2i\omega_1 \omega_2}{\kappa_2 \varepsilon r^2} \mathbf{e}^* (\mathbf{P}_1 + \mathbf{P}_3), \end{aligned}$$

где $\mathbf{P}_1 = \mathbf{Q} + \kappa_3 R_1 \mathbf{f}_3$ и $\mathbf{P}_3 = \mathbf{Q} - \kappa_3 R_3 \mathbf{f}_3$. Функция \bar{T}_{+-} получается из \bar{T}_{+++} с помощью подстановки $\omega_1 \leftrightarrow -\omega_3$, $\kappa_2 \leftrightarrow -\varepsilon$, $\mathbf{P}_1 \leftrightarrow \mathbf{P}_3$ и $\mathbf{e} \leftrightarrow \mathbf{e}^*$. Заметим, что подынтегральное выражение для спиральных амплитуд $M_2^{(3)}$ в (12), (14) может быть получено из подынтегрального выражения для спиральных амплитуд $M_1^{(3)}$ в (9), (11) с помощью подстановок

$$\begin{aligned} \mathbf{q}_{2,3} &\rightarrow -\mathbf{q}_{2,3}, & \omega_1 &\leftrightarrow \omega_2, & \omega_3 &\rightarrow -\omega_3, & \kappa_3 &\leftrightarrow \varepsilon, \\ R_1 &\leftrightarrow R_2, & R_3 &\rightarrow -R_3, & \mathbf{f}_{23} &\leftrightarrow -\mathbf{f}_{32}, & \mathbf{f}_2 &\rightarrow -\mathbf{f}_2. \end{aligned} \quad (15)$$

При этом $T_{+--} \rightarrow \bar{T}_{+--}$, $T_{+-} \rightarrow \bar{T}_{+-}$, $T_{+++} \rightarrow \bar{T}_{+++}$ ($\mathbf{e} \leftrightarrow \mathbf{e}^*$), $T_{++-} \rightarrow \bar{T}_{++-}$ ($\mathbf{e} \leftrightarrow \mathbf{e}^*$).

Аналогично, для амплитуд $M^{(2)}$ находим

$$\begin{aligned} M_{+--}^{(2)} &= 0, & M_{+++}^{(2)} &= \mathbf{e}^* (\mathbf{M}_{12} + \mathbf{M}_{13}), \\ M_{+-}^{(2)} &= \mathbf{e} (\mathbf{M}_{12} + \mathbf{M}_{23}), & M_{-+}^{(2)} &= \mathbf{e} (\mathbf{M}_{13} + \mathbf{M}_{23}), \end{aligned} \quad (16)$$

где

$$\begin{aligned}
 M_{23} &= -\frac{ie^3}{16\pi^3} \int_{-\omega_3}^{\omega_2} d\varepsilon \int_0^\infty \frac{dR_1}{R_1^2} \int_0^\infty \frac{dR_2}{R_2^2} \left[R_1 + \left(\frac{\kappa_2 - \kappa_3}{\omega_1} \right)^2 R_2 \right] \iint d\mathbf{q}_2 d\mathbf{q}_3 \mathbf{Q} \left(\frac{q_2}{q_3} \right)^{2iZ\alpha} \times \\
 &\quad \times \exp \left\{ i \left[\left(\frac{1}{R_1} + \frac{1}{R_2} \right) \frac{\mathbf{Q}^2}{2} + \frac{\omega_2 \omega_3 \kappa_2 \kappa_3}{2\omega_1^2} \mathbf{f}_{23}^2 R_2 - \frac{(\kappa_2 \mathbf{q}_2 - \kappa_3 \mathbf{q}_3) \Delta}{\omega_1} - \frac{m^2}{2} (R_1 + R_2) \right] \right\}, \\
 M_{13} &= \frac{ie^3}{16\pi^3} \int_0^{\omega_2} d\varepsilon \int_0^\infty \frac{dR_1}{R_1^2} \int_0^\infty \frac{dR_2}{R_2^2} \left[R_2 + \left(\frac{\kappa_2 - \varepsilon}{\omega_2} \right)^2 R_1 \right] \iint d\mathbf{q}_2 d\mathbf{q}_3 \mathbf{Q} \left(\frac{q_2}{q_3} \right)^{2iZ\alpha} \times \\
 &\quad \times \exp \left\{ i \left[\left(\frac{1}{R_1} + \frac{1}{R_2} \right) \frac{\mathbf{Q}^2}{2} - \frac{\omega_1 \omega_3 \varepsilon \kappa_2}{2\omega_2^2} \mathbf{f}_3^2 R_1 - \frac{(\kappa_2 \mathbf{q}_2 - \varepsilon \mathbf{q}_3) \Delta}{\omega_2} - \frac{m^2}{2} (R_1 + R_2) \right] \right\}, \quad (17)
 \end{aligned}$$

а вектор M_{12} получается из M_{13} заменой $\omega_2 \leftrightarrow \omega_3$ и $\mathbf{f}_3 \leftrightarrow \mathbf{f}_2$. Как мы увидим, в сумме $M^{(2)} + M^{(3)}$ большое количество членов сокращается.

В общем случае дальнейшее преобразование полученных выражений приводит к четырехкратным интегралам от элементарных функций, и эта задача требует отдельного подробного рассмотрения. Ниже мы ограничимся детальным обсуждением случая $|\mathbf{k}_{2\perp}| = |\omega_2 \mathbf{f}_2| \gg m$, $|\mathbf{k}_{3\perp}| = |\omega_3 \mathbf{f}_3| \gg m$, когда выражения для амплитуд существенно упрощаются. Эта область параметров соответствует большой виртуальности электрон-позитронной пары по сравнению с массой электрона, которой в этом случае можно пренебречь. Заметим, что при этом соотношение между передачей импульса $\Delta = |\Delta|$ и массой электрона m может быть произвольным, поскольку Δ определяет не виртуальность пары, а характерный прицельный параметр $\rho \sim 1/\Delta$.

6. ПРЕДЕЛ НУЛЕВОЙ МАССЫ

Нетрудно заметить, что если в полученных выражениях положить $m = 0$, то это приведет к логарифмическим расходямостям в отдельных членах (т.е. к появлению $\ln m$ при конечной массе). Например, в амплитуде $M_1^{(3)}$ такие логарифмы возникают при интегрировании по R_1 членов в T , не содержащих множителя $1/R_1$ (см. (11)). Окончательный ответ, как и должно быть, не содержит логарифмов массы. Однако сокращение этих логарифмов между отдельными вкладками является весьма нетривиальным.

При взятии интеграла по R_1 в формуле (9) для $T = T_{+--}$ логарифмы не возникают, а $M_{+--}^{(2)} = 0$. В формуле (11) для T_{+++} и T_{++-} содержатся члены пропорциональные \mathbf{Q}^2 . В этих членах удобно перейти от переменных R_2 и R_3 к R_2 и $y = R_3/R$ и проинтегрировать по частям по y . В членах, содержащих \mathbf{Q}_3^2 , перейдем к переменным R_3 и $y = R_3/R$ и также проинтегрируем по частям по y . В результате в двойном интеграле по R_2 и R_3 все члены, в которых возникает логарифм массы, сокращаются, и можно положить $m = 0$. После этого T_{+++} и T_{++-} переходят в

$$\begin{aligned}
 T_{+++} &= -\frac{4}{R_1 R^2} \left(\frac{\kappa_2}{\kappa_3} + \frac{\kappa_3}{\kappa_2} \right) (\mathbf{eQ})(\mathbf{e}^* \mathbf{Q}_2)(\mathbf{e}^* \mathbf{Q}_3), \\
 T_{++-} &= -\frac{4}{R_1 R^2} \left(\frac{\kappa_2}{\varepsilon} + \frac{\varepsilon}{\kappa_2} \right) (\mathbf{eQ}) [(\mathbf{eQ}_2)(\mathbf{e}^* \mathbf{Q}_3) - iR].
 \end{aligned} \quad (18)$$

Кроме того, возникают внеинтегральные члены при $y = \omega_3 \kappa_2 / \omega_1 \varepsilon$ (верхний предел)

и $y = 0$ (нижний предел). Аналогичные преобразования необходимо провести и для амплитуды $M_2^{(3)}$. Соответственно, \tilde{T}_{++-} и \tilde{T}_{+-} переходят в

$$\begin{aligned} \tilde{T}_{++-} &= \frac{4}{r^2 R_2} \left(\frac{\kappa_2}{\varepsilon} + \frac{\varepsilon}{\kappa_2} \right) (\mathbf{e}^* \mathbf{Q})(\mathbf{eP}_1)(\mathbf{eP}_3), \\ \tilde{T}_{+++} &= \frac{4}{r^2 R_2} \left(\frac{\kappa_2}{\kappa_3} + \frac{\kappa_3}{\kappa_2} \right) (\mathbf{e}^* \mathbf{Q}) [(\mathbf{e}^* \mathbf{P}_1)(\mathbf{eP}_3) - iR]. \end{aligned} \tag{19}$$

На нижнем пределе внеинтегральные члены сокращаются в сумме $M_1^{(3)}$ и $M_2^{(3)}$. Напомним, что для вычисления амплитуды $M^{(3)}$ нам необходимо найти сумму $M_1^{(3)} + (\mathbf{k}_2 \leftrightarrow \mathbf{k}_3, \mathbf{e}_2 \leftrightarrow \mathbf{e}_3)$, выделить нечетную по $Z\alpha$ часть и умножить на два. После этого вклады внеинтегральных членов от $M_1^{(3)}$ на верхнем пределе для амплитуды M_{+++} сокращаются, а для амплитуд M_{++-} и M_{+-} в сумме с (\mathbf{eM}_{23}) дают конечное при $m = 0$ выражение. При этом для сокращения сингулярных по m вкладов необходимо использовать антисимметричность возникающих подынтегральных выражений относительно замены переменных $\varepsilon \rightarrow \omega_2 - \omega_3 - \varepsilon, \mathbf{q}_2 \leftrightarrow -\mathbf{q}_3$. Вклады внеинтегральных членов от $M_2^{(3)}$ на верхнем пределе обращаются в нуль для амплитуды M_{++-} , а для амплитуд M_{+++} и M_{+-} дают конечное при $m = 0$ выражение в сумме с $(\mathbf{e}^* \mathbf{M}_{13})$ и (\mathbf{eM}_{13}) соответственно. Аналогично амплитуды $(\mathbf{e}^* \mathbf{M}_{12})$ и (\mathbf{eM}_{12}) сокращают сингулярные вклады от $M_2^{(3)}(\mathbf{k}_2 \leftrightarrow \mathbf{k}_3)$ для амплитуд M_{+++} и M_{++-} . Для амплитуды M_{+-} внеинтегральные члены на верхнем пределе от $M_2^{(3)}(\mathbf{k}_2 \leftrightarrow \mathbf{k}_3)$ обращаются в нуль. В результате сумма внеинтегральных членов и $M^{(2)}$ дает дополнительные вклады в спиральные амплитуды, которые мы представим в виде

$$\delta M = -\frac{e^3}{4\pi^3} \int_0^\infty \frac{dR}{R} \iint \frac{d\mathbf{q}_2 d\mathbf{q}_3}{\mathbf{Q}^2} \left[\left(\frac{q_2}{q_3} \right)^{2iZ\alpha} - \left(\frac{q_3}{q_2} \right)^{2iZ\alpha} \right] F. \tag{20}$$

Функция F для различных спиральностей равна

$$\begin{aligned} F_{+--} &= 0, \quad F_{+-} = (\mathbf{eQ}) \left[\int_{-\omega_3}^{\omega_2} d\varepsilon \frac{\kappa_2 \kappa_3^2}{\omega_1^2 \varepsilon} \exp(i\psi_1) - \int_0^{\omega_2} d\varepsilon \frac{\kappa_2 \varepsilon^2}{\omega_2^2 \kappa_3} \exp(i\psi_2) \right], \\ F_{+++} &= (\mathbf{e}^* \mathbf{Q}) \int_0^{\omega_2} d\varepsilon \frac{\varepsilon \kappa_2^2}{\omega_2^2 \kappa_3} \exp(i\psi_2) + (\omega_2 \leftrightarrow \omega_3, \mathbf{f}_2 \leftrightarrow \mathbf{f}_3), \\ F_{++-} &= F_{+-}(\omega_2 \leftrightarrow \omega_3, \mathbf{f}_2 \leftrightarrow \mathbf{f}_3), \\ \psi_1 &= \frac{\mathbf{Q}^2}{2R} + \frac{\omega_2 \omega_3 \kappa_2 \kappa_3}{2\omega_1^2} \mathbf{f}_{23} R - \frac{(\kappa_2 \mathbf{q}_2 - \kappa_3 \mathbf{q}_3) \Delta}{\omega_1}. \end{aligned} \tag{21}$$

Фаза ψ_2 получается из ψ_1 заменой (15). При получении формулы (20) мы взяли интеграл по одному из радиусов. Заметим, что сингулярность подынтегрального выражения (21) при $\varepsilon = 0$ является фиктивной и сокращается в полном выражении для амплитуды процесса. Поэтому она не требует доопределения.

Подставим формулы (18) и (19) в (9) и (12) соответственно, положим $m = 0$ в фазах Φ и $\tilde{\Phi}$ и возьмем элементарный интеграл по R_1 в (9) и по R_2 в (12). После этого перейдем

от переменных \mathbf{q}_2 и \mathbf{q}_3 к переменным $\mathbf{Q} = \mathbf{q}_2 + \mathbf{q}_3$ и $\mathbf{q} = \mathbf{q}_2 - \mathbf{q}_3$. В результате интеграл по \mathbf{q} имеет вид

$$J = \int \frac{d\mathbf{q}}{Q^2} \left(\frac{|\mathbf{q} + \mathbf{Q}|}{|\mathbf{q} - \mathbf{Q}|} \right)^{2iZ\alpha} \exp\left(-\frac{i}{2}\mathbf{q}\Delta\right). \quad (22)$$

Сделаем замену переменных $\mathbf{q} \rightarrow |\mathbf{Q}|\mathbf{q}$ и представим \mathbf{Q} и Δ в виде $\mathbf{Q} = |\mathbf{Q}|\lambda_1$, $\Delta = |\Delta|\lambda_2$. Нетрудно видеть, что J является функцией $S = (\lambda_1\lambda_2)$ и $|\mathbf{Q}||\Delta|$. Заметим, что в двумерном случае форма $P = \epsilon_{ij}\lambda_1^i\lambda_2^j$ также инвариантна относительно поворотов, однако четные степени P выражаются через S ($P^2 = 1 - S^2$), а нечетные степени P меняют знак при отражении относительно произвольной оси. В то же время интеграл J инвариантен при отражениях. Это становится очевидным, если одновременно с отражением λ_1 и λ_2 сделать отражение вектора \mathbf{q} . Таким образом, J не меняется при замене $\mathbf{Q} \leftrightarrow \Delta$. После этой замены J принимает вид

$$J = \int \frac{d\mathbf{q}}{\Delta^2} \left(\frac{|\mathbf{q} + \Delta|}{|\mathbf{q} - \Delta|} \right)^{2iZ\alpha} \exp\left(-\frac{i}{2}\mathbf{q}\mathbf{Q}\right). \quad (23)$$

Используя это представление, легко взять интегралы по \mathbf{Q} и по всем радиусам. Суммируя все вклады, окончательно получаем

$$M = \frac{8e^3}{\pi^2\omega_1\omega_2\omega_3\Delta^2} \int d\mathbf{q} (\mathbf{T}\nabla_{\mathbf{q}}) \operatorname{Im} \left(\frac{|\mathbf{q} + \Delta|}{|\mathbf{q} - \Delta|} \right)^{2iZ\alpha}, \quad (24)$$

$$\mathbf{T}_{+--} = \omega_3 \mathbf{e} \int_0^{\omega_2} d\varepsilon \frac{\kappa_2^2}{\mathbf{e}^* \mathbf{a}} \left[\frac{(\mathbf{e}\mathbf{b})\kappa_3}{\omega_1 \mathcal{D}_1} - \frac{(\mathbf{e}\mathbf{c})\varepsilon}{\omega_2 \mathcal{D}_3} \right] + \left(\begin{matrix} \omega_2 \leftrightarrow \omega_3 \\ \mathbf{f}_2 \leftrightarrow \mathbf{f}_3 \end{matrix} \right),$$

$$\mathbf{T}_{+++} = \omega_3 \int_0^{\omega_2} d\varepsilon \kappa_2 \left[\mathbf{e}^* \frac{\varepsilon}{\omega_2 \mathcal{D}_3} \left(\frac{\kappa_3 - \kappa_2}{2} + \frac{\mathbf{e}^* \mathbf{f}_3}{\mathbf{e}^* \mathbf{a}} (\kappa_2^2 + \kappa_3^2) \right) - \mathbf{e} \frac{(\mathbf{e}^* \mathbf{b})(\kappa_2^2 + \kappa_3^2)}{2(\mathbf{e}\mathbf{a})\omega_1 \mathcal{D}_1} \right] + \left(\begin{matrix} \omega_2 \leftrightarrow \omega_3 \\ \mathbf{f}_2 \leftrightarrow \mathbf{f}_3 \end{matrix} \right),$$

$$\mathbf{T}_{+-+} = \omega_3 \int_0^{\omega_2} d\varepsilon \kappa_2 \left[\mathbf{e} \frac{\kappa_3}{\omega_1 \mathcal{D}_1} \left(\frac{\kappa_2 - \varepsilon}{2} - \frac{\mathbf{e}\mathbf{f}_{23}}{\mathbf{e}\mathbf{a}} (\kappa_2^2 + \varepsilon^2) \right) + \mathbf{e}^* \frac{(\mathbf{e}\mathbf{c})(\kappa_2^2 + \varepsilon^2)}{2(\mathbf{e}^* \mathbf{a})\omega_2 \mathcal{D}_3} \right] +$$

$$+ \omega_2 \mathbf{e} \int_{-\omega_3}^0 d\varepsilon \kappa_3 \left[\frac{\kappa_3(\kappa_2^2 + \varepsilon^2)}{\mathbf{e}^* \mathbf{b}} \left(\frac{\mathbf{e}^* \mathbf{f}_{23}}{\omega_1 \mathcal{D}_1} + \frac{\mathbf{e}^* \mathbf{f}_2}{\omega_3 \mathcal{D}_2} \right) - \frac{\varepsilon\kappa_3 + \kappa_2^2}{2\omega_1 \mathcal{D}_1} + \frac{\varepsilon^2 - \kappa_2\kappa_3}{2\omega_3 \mathcal{D}_2} \right].$$

Очевидно, что \mathbf{T}_{+--} получается из \mathbf{T}_{+-+} с помощью замены $\omega_2 \leftrightarrow \omega_3$, $\mathbf{f}_2 \leftrightarrow \mathbf{f}_3$. В формуле (24) введены обозначения

$$\mathcal{D}_1 = \frac{\omega_2\kappa_3\mathbf{a}^2 - \omega_3\kappa_2\mathbf{b}^2}{\omega_1\varepsilon} - i0, \quad \mathcal{D}_2 = \frac{\omega_2\kappa_3\tilde{\mathbf{c}}^2 - \omega_1\varepsilon\mathbf{b}^2}{\omega_3\kappa_2}, \quad \mathcal{D}_3 = \frac{\omega_1\varepsilon\mathbf{a}^2 + \omega_3\kappa_2\mathbf{c}^2}{\omega_2\kappa_3},$$

$$\mathbf{a} = \mathbf{q} - \Delta + 2\kappa_2\mathbf{f}_2, \quad \mathbf{b} = \mathbf{q} + \Delta - 2\kappa_3\mathbf{f}_3,$$

$$\mathbf{c} = \mathbf{q} + \Delta - 2\varepsilon\mathbf{f}_{23}, \quad \tilde{\mathbf{c}} = \mathbf{q} - \Delta + 2\varepsilon\mathbf{f}_{23}. \quad (25)$$

При выводе (24) мы использовали тождество

$$\mathbf{Q} \exp\left(-\frac{i}{2}\mathbf{q}\mathbf{Q}\right) = 2i\nabla_{\mathbf{q}} \exp\left(-\frac{i}{2}\mathbf{q}\mathbf{Q}\right)$$

и проинтегрировали по частям по \mathbf{q} . Заметим, что в (24) векторы \mathbf{e} и \mathbf{e}^* оказались в знаменателях в результате применения соотношения $2(\mathbf{e}\mathbf{a})(\mathbf{e}^*\mathbf{a}) = \mathbf{a}^2$.

7. АСИМПТОТИКА ПРИ МАЛЫХ Δ

В приближении малых углов ($|\mathbf{f}_2|, |\mathbf{f}_3| \ll 1$) сечение процесса расщепления фотона имеет вид

$$d\sigma = \frac{\omega_1^2}{2^8\pi^5} |M|^2 x(1-x) dx d\mathbf{f}_2 d\mathbf{f}_3, \tag{26}$$

где $x = \omega_2/\omega_1$, при этом $\omega_3 = \omega_1(1-x)$. Введем обозначение $\rho = (\omega_2\mathbf{f}_2 - \omega_3\mathbf{f}_3)/2$. В переменных ρ и Δ сечение процесса равно

$$d\sigma = |M|^2 \frac{d\Delta d\rho dx}{2^8\pi^5\omega_1^2 x(1-x)}. \tag{27}$$

Рассмотрим асимпотику полученных выражений при $|\Delta| \ll |\rho|$. Для ее получения умножим Γ в (24) на

$$1 = \vartheta(q_0^2 - \mathbf{q}^2) + \vartheta(\mathbf{q}^2 - q_0^2),$$

где $|\Delta| \ll q_0 \ll |\rho|$. Тогда для слагаемого в (24), пропорционального $\vartheta(q_0^2 - \mathbf{q}^2)$, в функции Γ можно положить $\mathbf{q} = 0$ и $\Delta = 0$ и проинтегрировать по частям по \mathbf{q} . Используя соотношение

$$\nabla_{\mathbf{q}}\vartheta(q_0^2 - \mathbf{q}^2) = -2\mathbf{q} \delta(q_0^2 - \mathbf{q}^2),$$

легко вычислить интеграл по \mathbf{q} , так как при $|\mathbf{q}| = q_0 \gg |\Delta|$ имеем

$$\text{Im} \left(\frac{|\mathbf{q} + \Delta|}{|\mathbf{q} - \Delta|} \right)^{2iZ\alpha} \approx 4Z\alpha \frac{\mathbf{q}\Delta}{q^2}.$$

В результате в области $|\mathbf{q}| < q_0$ вклад пропорциональный $Z\alpha$ не зависит от q_0 , а следующие по $Z\alpha$ члены являются малыми по параметру $|\Delta|/q_0$.

Для слагаемого пропорционального $\vartheta(\mathbf{q}^2 - q_0^2)$ имеем

$$\nabla_{\mathbf{q}} \text{Im} \left(\frac{|\mathbf{q} + \Delta|}{|\mathbf{q} - \Delta|} \right)^{2iZ\alpha} \approx 4Z\alpha \frac{\mathbf{q}^2\Delta - 2\mathbf{q}(\mathbf{q}\Delta)}{|\mathbf{q}|^4}.$$

Полагая $\Delta = 0$ в функции Γ , вычисляем сначала интеграл по углам вектора \mathbf{q} , а затем по его модулю. В результате главный по $q_0/|\rho|$ вклад не зависит от q_0 и пропорционален $Z\alpha$. Возьмем сумму вкладов двух областей по \mathbf{q} и вычислим интеграл по энергии ϵ . Окончательно получаем

$$M_{+--} = \frac{4iN(\epsilon\rho)^3}{\rho^4} [\Delta\rho]_z, \quad N = \frac{4Z\alpha e^3\omega_2\omega_3}{\pi\omega_1\Delta^2\rho^2},$$

$$\begin{aligned}
 M_{+++} &= N \left[\mathbf{e}^* \Delta + 2(\mathbf{e} \Delta) \frac{(\mathbf{e}^* \rho)^2}{\rho^2} \left(1 + \frac{\omega_2 - \omega_3}{\omega_1} \ln \frac{\omega_3}{\omega_2} + \frac{\omega_2^2 + \omega_3^2}{2\omega_1^2} \left(\ln^2 \frac{\omega_3}{\omega_2} + \pi^2 \right) \right) \right], \\
 M_{++-} &= N \left[\mathbf{e} \Delta + 2(\mathbf{e}^* \Delta) \frac{(\mathbf{e} \rho)^2}{\rho^2} \left(1 + \frac{\omega_1 + \omega_3}{\omega_2} \left(\ln \frac{\omega_3}{\omega_1} + i\pi \right) + \frac{\omega_1^2 + \omega_3^2}{2\omega_2^2} \left(\ln^2 \frac{\omega_3}{\omega_1} + 2i\pi \ln \frac{\omega_3}{\omega_1} \right) \right) \right],
 \end{aligned} \tag{28}$$

где A_z — компонента вектора \mathbf{A} вдоль \mathbf{k}_1 . После подстановки (28) в (27) и взятия элементарных интегралов по углам векторов Δ и ρ приходим к выражению

$$d\sigma = \frac{4Z^2\alpha^5}{\pi^2} \frac{d\rho^2 d\Delta^2 dx}{\rho^4 \Delta^2} g(x), \tag{29}$$

где функции $g(x)$ для различных поляризацй имеют вид

$$\begin{aligned}
 g_{+--}(x) &= x(1-x), \\
 g_{+++}(x) &= \frac{1}{2}x(1-x) \left[1 + \left(1 + (2x-1) \ln \frac{1-x}{x} + \frac{x^2 + (1-x)^2}{2} \left(\ln^2 \frac{1-x}{x} + \pi^2 \right) \right)^2 \right], \\
 g_{++-}(x) &= \frac{1}{2}x(1-x) \left[1 + \left| 1 + \left(\frac{2}{x} - 1 \right) (\ln(1-x) + i\pi) + \frac{1 + (1-x)^2}{2x^2} (\ln^2(1-x) + 2i\pi \ln(1-x)) \right|^2 \right], \\
 g_{+-+}(x) &= g_{++-}(1-x).
 \end{aligned} \tag{30}$$

Формулы (29) и (30) согласуются с соответствующими результатами работы [16], полученными с помощью метода эквивалентных фотонов. Однако этот метод не позволяет получить сами амплитуды (28). Большой логарифм появляется в сечении в результате интегрирования (29) по Δ^2 от Δ_{min}^2 до ρ^2 , где для экранированного кулоновского потенциала $\Delta_{min} \sim r_c^{-1}$, а для неэкранированного кулоновского потенциала $\Delta_{min} \sim \rho^2/\omega_1$. Интересно сравнить вклады различных спиральных амплитуд в сечение процесса при $\Delta \rightarrow 0$. На рис. 3 показана функция $g(x)$ для различных спиральных состояний, а также функция

$$\bar{g}(x) = g_{+--}(x) + g_{+++}(x) + g_{++-}(x) + g_{+-+}(x), \tag{31}$$

которая возникает при суммировании по поляризациям конечных фотонов. Видно, что $\bar{g}(x)$ слабо меняется в широком диапазоне x .

Кулоновские поправки к амплитуде расщепления фотона при $\Delta \rightarrow 0$ являются малыми по сравнению с борновским вкладом (28). Они становятся существенными при $\Delta \sim \rho$, и требуется отдельный подробный анализ их роли.

8. БОРНОВСКОЕ ПРИБЛИЖЕНИЕ

Как уже говорилось, амплитуда расщепления фотона, полученная в [14, 15] в низшем борновском приближении при произвольных энергиях и передачах импульса, является весьма сложной для приложений. Поэтому интересно найти линейный по $Z\alpha$ член разложения амплитуд (24). Для этого сделаем в (24) подстановку

$$(\mathbf{e}\nabla_{\mathbf{q}}) \text{Im} \left(\frac{|\mathbf{q} + \Delta|}{|\mathbf{q} - \Delta|} \right)^{2iZ\alpha} \rightarrow Z\alpha \left[\frac{1}{\mathbf{e}^*(\mathbf{q} + \Delta)} - \frac{1}{\mathbf{e}^*(\mathbf{q} - \Delta)} \right]$$

и запишем функции $\mathcal{D}_{1,2,3}$ из (25) в виде

$$\begin{aligned} \mathcal{D}_1 &= \left(\mathbf{q} + \frac{\kappa_2 - \kappa_3}{\omega_1} \Delta \right)^2 - \frac{4\omega_2\omega_3\kappa_2\kappa_3}{\omega_1^2} \mathbf{f}_{23}^2 - i0, \\ \mathcal{D}_2 &= \left(\mathbf{q} - \frac{\kappa_3 + \varepsilon}{\omega_3} \Delta \right)^2 - \frac{4\omega_1\omega_2\kappa_3\varepsilon}{\omega_3^2} \mathbf{f}_2^2, \quad \mathcal{D}_3 = \left(\mathbf{q} + \frac{\kappa_2 - \varepsilon}{\omega_2} \Delta \right)^2 + \frac{4\omega_1\omega_3\kappa_2\varepsilon}{\omega_2^2} \mathbf{f}_3^2. \end{aligned} \tag{32}$$

В каждом члене сделаем сдвиг переменной интегрирования \mathbf{q} так, чтобы функции $\mathcal{D}_{1,2,3}$ перестали зависеть от угла ϕ вектора \mathbf{q} . Например, в членах, содержащих \mathcal{D}_1 , мы делаем подстановку

$$\mathbf{q} \rightarrow \mathbf{q} - \frac{\kappa_2 - \kappa_3}{\omega_1} \Delta.$$

В результате, переходя к переменной $z = \exp(i\phi)$, легко берем интеграл по z с помощью вычетов. Вычисляя элементарные интегралы по $|\mathbf{q}|$ и по ε , получаем для борновских амплитуд

$$\begin{aligned} M_{+--} &= \frac{2iZ\alpha e^3 [f_2 f_3]_z}{\pi \Delta^2 (\mathbf{e}^* \mathbf{f}_2) (\mathbf{e}^* \mathbf{f}_3) (\mathbf{e}^* \mathbf{f}_{23})}, \\ M_{+++} &= \frac{2(Z\alpha) e^3 \omega_1}{\pi \Delta^2 (\mathbf{e} \mathbf{f}_{23})^2 \omega_2 \omega_3} \left\{ (\mathbf{e} \Delta) \left[1 + \frac{\mathbf{e} \mathbf{f}_2 + \mathbf{e} \mathbf{f}_3}{\mathbf{e} \mathbf{f}_{23}} \ln \frac{a_2}{a_3} + \right. \right. \\ &+ \left. \frac{(\mathbf{e} \mathbf{f}_2)^2 + (\mathbf{e} \mathbf{f}_3)^2}{(\mathbf{e} \mathbf{f}_{23})^2} \left(\frac{\pi^2}{6} + \frac{1}{2} \ln^2 \frac{a_2}{a_3} + \text{Li}_2(1 - a_2) + \text{Li}_2(1 - a_3) \right) \right] + \\ &+ \left. \frac{1}{\mathbf{e} \Delta} \left[\omega_3^2 (\mathbf{e} \mathbf{f}_3)^2 \frac{a_2}{1 - a_2} \left(1 + \frac{a_2 \ln a_2}{1 - a_2} \right) + \omega_2^2 (\mathbf{e} \mathbf{f}_2)^2 \frac{a_3}{1 - a_3} \left(1 + \frac{a_3 \ln a_3}{1 - a_3} \right) \right] \right\} \end{aligned}$$

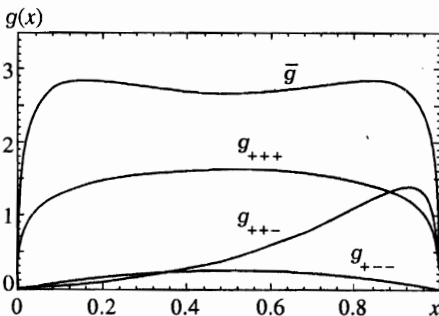


Рис. 3. Функции $g(x)$ (30) для различных поляризаций и $\bar{g}(x)$ (31)

$$\begin{aligned}
 & + \frac{2(\mathbf{e}\mathbf{f}_2)(\mathbf{e}\mathbf{f}_3)}{\mathbf{e}\mathbf{f}_{23}} \left\{ \omega_3 \frac{a_2 \ln a_2}{1 - a_2} - \omega_2 \frac{a_3 \ln a_3}{1 - a_3} \right\}, \\
 M_{++-} = & \frac{2(Z\alpha)e^3\omega_2}{\pi\Delta^2(\mathbf{e}^*\mathbf{f}_3)^2\omega_1\omega_3} \left\{ (\mathbf{e}^*\Delta) \left[1 - \frac{(\mathbf{e}^*\mathbf{f}_2) + (\mathbf{e}^*\mathbf{f}_{23})}{(\mathbf{e}^*\mathbf{f}_3)} \ln \frac{-a_1}{a_2} + \right. \right. \\
 & + \left. \frac{(\mathbf{e}^*\mathbf{f}_2)^2 + (\mathbf{e}^*\mathbf{f}_{23})^2}{(\mathbf{e}^*\mathbf{f}_3)^2} \left(\frac{\pi^2}{6} + \frac{1}{2} \ln^2 \frac{-a_1}{a_2} + \text{Li}_2(1 - a_2) + \text{Li}_2(1 + a_1) \right) \right] + \\
 & + \frac{1}{\mathbf{e}^*\Delta} \left[\omega_3^2(\mathbf{e}^*\mathbf{f}_{23})^2 \frac{a_2}{1 - a_2} \left(1 + \frac{a_2 \ln a_2}{1 - a_2} \right) - \omega_1^2(\mathbf{e}^*\mathbf{f}_2)^2 \frac{a_1}{1 + a_1} \left(1 - \frac{a_1 \ln(-a_1)}{1 + a_1} \right) \right] + \\
 & + \left. \frac{2(\mathbf{e}^*\mathbf{f}_2)(\mathbf{e}^*\mathbf{f}_{23})}{(\mathbf{e}^*\mathbf{f}_3)} \left[\omega_1 \frac{a_1 \ln(-a_1)}{1 + a_1} - \omega_3 \frac{a_2 \ln a_2}{1 - a_2} \right] \right\},
 \end{aligned} \tag{33}$$

где

$$a_1 = \frac{\Delta^2}{\omega_2\omega_3\mathbf{f}_{23}^2}, \quad a_2 = \frac{\Delta^2}{\omega_1\omega_2\mathbf{f}_2^2}, \quad a_3 = \frac{\Delta^2}{\omega_1\omega_3\mathbf{f}_3^2}, \quad \text{Li}_2(x) = - \int_0^x \frac{dt}{t} \ln(1 - t).$$

Из (25) следует, что $\ln(-a_1)$ следует понимать как $\ln(-a_1 + i0) = \ln a_1 + i\pi$. Кроме того,

$$\text{Li}_2(1 + a_1) = \text{Li}_2(1 + a_1 - i0) = \frac{\pi^2}{6} - \ln(1 + a_1)[\ln a_1 + i\pi] - \text{Li}_2(-a_1).$$

Результат (33) получен при условии $|\Delta_\perp| \gg |\Delta_\parallel|$. Можно показать, что он остается верным и в случае $|\Delta_\perp| \sim |\Delta_\parallel|$, если в формулах (33) использовать выражение (5) для Δ^2 . В действительности в (33) разница между Δ^2 и Δ_\perp^2 существенна только во внешнем множителе $1/\Delta^2$. Для экранированного кулоновского потенциала амплитуды (33) должны быть умножены на атомный формфактор $1 - F(\Delta^2)$. В случае потенциала Мольер [19] он равен

$$1 - F(\Delta^2) = \Delta^2 \sum_{i=1}^3 \frac{\alpha_i}{\Delta^2 + \beta_i^2}, \tag{34}$$

где

$$\begin{aligned}
 \alpha_1 = 0.1, \quad \alpha_2 = 0.55, \quad \alpha_3 = 0.35, \quad \beta_i = \beta_0 b_i, \\
 b_1 = 6, \quad b_2 = 1.2, \quad b_3 = 0.3, \quad \beta_0 = mZ^{1/3}/121.
 \end{aligned} \tag{35}$$

Напомним, что формула (33) справедлива при $|\mathbf{k}_{2\perp}|, |\mathbf{k}_{3\perp}| \gg m$.

9. СЕЧЕНИЕ ПРОЦЕССА

Как было предложено в [13], для того чтобы при наблюдении расщепления фотона преодолеть связанные с фоном трудности, необходимо регистрировать события с

$|\mathbf{f}_{2,3}| \geq f_0$, где угол $f_0 \ll 1$ определяется экспериментальными условиями. Рассмотрим сечение процесса, проинтегрированное по \mathbf{f}_3 в области $|\mathbf{f}_3| > f_0$. Интересно сравнить результат для этого сечения ($d\sigma/dx d\mathbf{f}_2$), полученный из (33) и (26), с сечением, найденным с помощью метода эквивалентных фотонов ($d\sigma_{approx}/dx d\mathbf{f}_2$). Большой логарифм соответствует вкладу области $\Delta \ll \rho = |\omega_2 \mathbf{f}_2 - \omega_3 \mathbf{f}_3|/2$, где $f_3 \approx x f_2/(1-x)$. Взяв интеграл по Δ^2 в (29) от Δ_{min}^2 до Δ_{eff}^2 , где (см. [16])

$$\Delta_{min}^2 = \Delta_{||}^2 = [\omega_1 f_2^2 x / 2(1-x)]^2, \quad \Delta_{eff}^2 = \rho^2 = (\omega_1 x f_2)^2,$$

и просуммировав по поляризациям конечных фотонов, получаем в случае незранированного кулоновского потенциала

$$\frac{d\sigma_{approx}}{dx d\mathbf{f}_2} = \frac{8Z^2 \alpha^5}{\pi^3 \omega_1^2} \frac{\bar{g}(x)}{x^2 f_2^4} \ln \frac{2(1-x)}{f_2} \vartheta \left(\frac{x}{1-x} f_2 - f_0 \right). \quad (36)$$

Для случая экранированного потенциала приближенное сечение имеет вид

$$\frac{d\sigma_{approx}}{dx d\mathbf{f}_2} = \frac{4Z^2 \alpha^5}{\pi^3 \omega_1^2} \frac{\bar{g}(x)}{x^2 f_2^4} \left(2 \ln \frac{\omega_1 x f_2}{\beta_0} + \gamma \right) \vartheta \left(\frac{x}{1-x} f_2 - f_0 \right). \quad (37)$$

Функция γ в (37) равна

$$\gamma = 1 - \sum_{i=1}^3 \alpha_i^2 (\ln a_i + 1) - 2 \sum_{i>j} \alpha_i \alpha_j \frac{a_i \ln a_i - a_j \ln a_j}{a_i - a_j}, \quad a_i = b_i^2 + \frac{\Delta_{min}^2}{\beta_0^2}, \quad (38)$$

а коэффициенты α_i , b_i и β_0 определены в (35). Если $\Delta_{min}^2/\beta_0^2 \gg 1$, то $\gamma = -\ln(\Delta_{min}^2/\beta_0^2)$ и выражение (37) переходит в (36). Если $\Delta_{min}^2/\beta_0^2 \ll 1$, то $\gamma = -0.158$. Для случая незранированного потенциала зависимость $\sigma_0^{-1} d\sigma/dx d\mathbf{f}_2$ от f_2/f_0 показана на рис. 4 при $f_0 = 10^{-3}$ и $x = 0.7$ (кривая 1), $x = 0.3$ (кривая 2), где

$$\sigma_0 = \frac{4Z^2 \alpha^5 \bar{g}(x)}{\pi^3 \omega_1^2 f_0^4},$$

а функция $\bar{g}(x)$ определена в (31). При $x = 0.7$ кривая, соответствующая сечению (36), практически совпадает с кривой 1. При $x = 0.3$ различие между приближенным и точным сечениями является весьма существенным (на рис. 4 кривая 3 соответствует сечению, найденному в приближении эквивалентных фотонов при $x = 0.3$). Однако при $x = 0.3$ сечение $d\sigma/dx$ с хорошей точностью совпадает с сечением, найденным из (36). Это является следствием того, что $d\sigma/dx$ не меняется при замене $x \rightarrow 1-x$, а при $x = 0.7$, как мы уже отмечали, приближенный результат (36) хорошо согласуется с точным. При $x = 0.5$ существует заметное различие между точным и приближенным результатами (см. рис. 5). Это связано с тем, что большой логарифм возникает в результате интегрирования по \mathbf{f}_3 в области $|(1-x)\mathbf{f}_3 + x\mathbf{f}_2| \ll x f_2$. После интегрирования по азимутальному углу φ между векторами \mathbf{f}_2 и $-\mathbf{f}_3$ мы должны интегрировать по f_3 от f_0 до $x f_2/(1-x)$ и от $x f_2/(1-x)$ до бесконечности. Если $x f_2/(1-x) \approx f_0$, то вклад первой области исчезает и сечение становится приблизительно в два раза меньше, чем сечение (36), что видно на рис. 5.

Так как амплитуды (33) получены в приближении нулевой массы, интересно оценить точность этого приближения. Численные результаты для сечения $d\sigma/dx d\mathbf{f}_2$ были

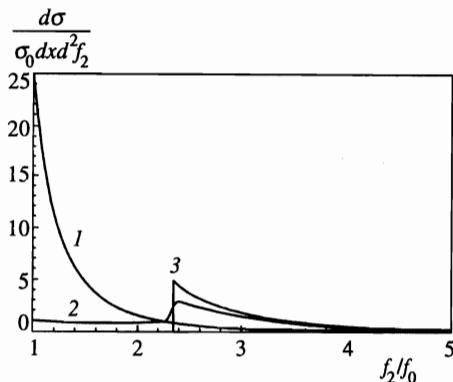


Рис. 4

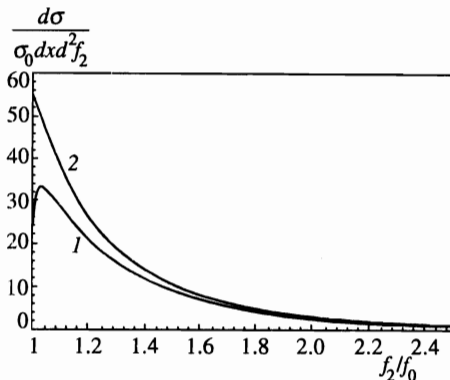


Рис. 5

Рис. 4. Зависимость $\sigma_0^{-1} d\sigma/dx df_2$ от f_2/f_0 для незранированного потенциала, $f_0 = 10^{-3}$, $x = 0.7$ (кривая 1), $x = 0.3$ (кривая 2), величина σ_0 определена в тексте. Кривая 3 соответствует приближению эквивалентных фотонов при $x = 0.3$

Рис. 5. То же, что на рис. 4, но для $x = 0.5$ (кривая 1). Кривая 2 соответствует приближению эквивалентных фотонов

Сечение расщепления фотона $d\sigma/\omega_1 dx df_2$ в барн/ГэВ для $Z = 79, x = 0.87$

| f_2 мрад | $\omega_1 = 1.7$ ГэВ | | $\omega_1 = 3.4$ ГэВ | | $\omega_1 = 6.1$ ГэВ | |
|---------------|----------------------|-------------|----------------------|-------------|----------------------|-------------|
| | Настоящая работа | Работа [17] | Настоящая работа | Работа [17] | Настоящая работа | Работа [17] |
| 1.2 | 22.7 | 21.1 | 3.11 | 3.25 | 0.57 | 0.56 |
| 1.6 | 7.5 | 7.4 | 0.99 | 1.03 | 0.18 | 0.18 |
| 2.0 | 3.09 | 3.12 | 0.40 | 0.41 | 0.071 | 0.072 |
| 2.4 | 1.48 | 1.51 | 0.19 | 0.19 | 0.034 | 0.034 |
| 2.8 | 0.79 | 0.80 | 0.10 | 0.10 | 0.018 | 0.018 |

получены в работе [17] (см. табл. V в [17]) для $Z = 79, x = 0.87, \omega_1 = 1.7$ ГэВ, 3.4 ГэВ, 6.1 ГэВ и для пяти значений угла f_2 в интервале 1.2–2.8 мрад. В этих расчетах масса электрона учитывалась точно. Данные, приведенные в таблице, показывают хорошее согласие наших результатов с результатами [17]. Только в точке, соответствующей наименьшему значению поперечной компоненты импульса $k_{2\perp} = 1.77$ МэВ, ошибка достигает 7%.

Для случая незранированного потенциала сечение $d\sigma/dx$ с хорошей точностью аппроксимируется формулой

$$\frac{d\sigma_{coul}}{dx} = \pi f_0^2 \sigma_0 \left[\frac{\vartheta(x - 1/2)}{x^2} \left(2 \ln \frac{2(1-x)}{f_0} - 1 - F(x) \right) + (x \leftrightarrow 1-x) \right], \quad (39)$$

где

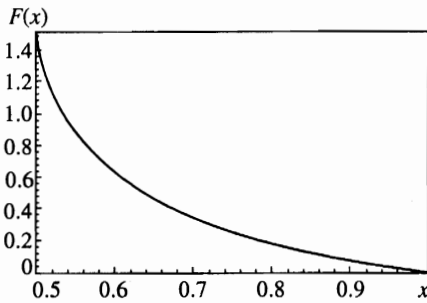


Рис. 6

Рис. 6. Функция $F(x)$ (40)

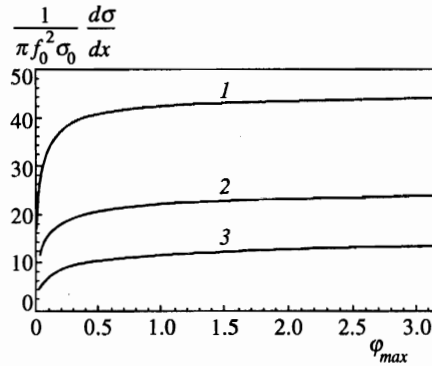


Рис. 7

Рис. 7. Зависимость $(\pi f_0^2 \sigma_0)^{-1} d\sigma(\varphi_{max})/dx$ от φ_{max} для незранированного потенциала при различных x : 1 — $x = 0.5$, 2 — $x = 0.7$, 3 — $x = 0.9$; $f_0 = 10^{-3}$

$$F(x) = \frac{1}{2} + \frac{x}{1-x} + \frac{2x-1}{(1-x)^2} \ln\left(2 - \frac{1}{x}\right). \quad (40)$$

Если $\omega_1^2 f_0^4 / \beta_0^2 \ll 1$, то соответствующее выражение для сечения в экранированном потенциале имеет вид

$$\frac{d\sigma_{scr}}{dx} = \pi f_0^2 \sigma_0 \left[\frac{\vartheta(x-1/2)}{x^2} \left(2 \ln \frac{\omega_1 x f_0}{\beta_0} + 0.842 - F(x) \right) + (x \leftrightarrow 1-x) \right], \quad (41)$$

где функция $F(x)$ определена в (40). Функция $F(x)$ характеризует разницу между точным сечением и сечением, полученным с помощью метода эквивалентных фотонов. Из рис. 6 видно, что эта разница становится существенной только при значениях x близких к 0.5. Для полных же сечений она составляет несколько процентов.

Неравенство $\Delta \ll \rho$, обеспечивающее применимость метода эквивалентных фотонов, соответствует малому углу φ между векторами \mathbf{f}_2 и $-\mathbf{f}_3$ (т. е. ситуации, когда векторы \mathbf{f}_2 и \mathbf{f}_3 имеют почти противоположные направления). Поэтому интересно рассмотреть сечение $d\sigma(\varphi_{max})/dx$, проинтегрированное по углу φ от $-\varphi_{max}$ до φ_{max} . В случае незранированного потенциала зависимость $(\pi f_0^2 \sigma_0)^{-1} d\sigma(\varphi_{max})/dx$ от φ_{max} показана на рис. 7 для $f_0 = 10^{-3}$ и различных значений x . Видно, что сечение приближается к своему полному значению при сравнительно больших углах φ_{max} . Такое же заключение верно для случая экранированного потенциала.

Один из авторов (Р. Н. Л.) благодарен Международному центру фундаментальной физики в Москве за поддержку работы (грант INTAS 93-2492-ext).

Литература

1. L. Meitner, H. Kösters (and M. Delbrück), *Z. Phys.* **84**, 137 (1933).
2. A. I. Milstein and M. Schumacher, *Phys. Rep.* **243**, 183 (1994).
3. M. Cheng and T. T. Wu, *Phys. Rev.* **182**, 1873 (1969).
4. M. Cheng and T. T. Wu, *Phys. Rev. D* **2**, 2444 (1970).
5. M. Cheng and T. T. Wu, *Phys. Rev. D* **5**, 3077 (1972).
6. A. I. Milstein and V. M. Strakhovenko, *Phys. Lett. A* **95**, 135 (1983).
7. А. И. Мильштейн, В. М. Страховенко, *ЖЭТФ* **85**, 14 (1983).
8. A. I. Milstein and V. M. Strakhovenko, *Phys. Lett. A* **90**, 447 (1982).
9. R. N. Lee and A. I. Milstein, *Phys. Lett. A* **198**, 217 (1995).
10. Р. Н. Ли, А. И. Мильштейн, *ЖЭТФ* **107**, 1393 (1995).
11. G. Jarlskog, L. Jönsson, S. Prünster et al., *Phys. Rev. D* **8**, 3813 (1973).
12. Р. М. Джилкибаев, Э. А. Кураев, В. С. Фадин, В. А. Хозе, *Письма в ЖЭТФ* **19**, 73 (1974).
13. A. I. Milstein and V. B. Wojtsekhowski, Preprint INP 91-14, Novosibirsk (1991).
14. Y. Shima, *Phys. Rev.* **142**, 944 (1966).
15. V. Costantini, B. De Tollis, and G. Pistoni, *Nuovo Cimento A* **2**, 733 (1971).
16. V. N. Baier, V. M. Katkov, E. A. Kuraev, and V. S. Fadin, *Phys. Lett. B* **49**, 385 (1974).
17. A. M. Johannessen, K. J. Mork, and I. Overbo, *Phys. Rev. D* **22**, 1051 (1980).
18. H.-D. Steinhöfer, *Z. Phys. C* **18**, 139 (1983).
19. G. Z. Moliere, *Naturforsch.* **2a**, 133 (1947).